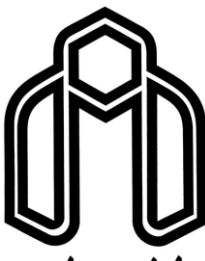


The image features a large, expressive calligraphic work in black ink on a white background. The text is written in a fluid, cursive style, possibly Nastaliq or a similar script, which is common for religious inscriptions in Persian. The characters are bold and interconnected, creating a sense of movement and unity. There are several decorative elements: a small dot at the bottom left, a larger dot at the bottom right, and a small diamond shape at the top left. A long, sweeping horizontal stroke extends from the middle of the text towards the right side of the frame. The overall composition is dynamic and visually striking.



دانشگاه صنعتی شهرود

دانشکده مهندسی معدن، نفت و ژئوفزیک

کروه نفت و ژئوفزیک

تخمین عمق آنومالی با استفاده از طیف توان تعییم یافته داده‌های میدان پتانسیل - مثال موردی: یکی از میادین نفتی ایران

دانشجو:

اردلان خزائی فر

استاد راهنما:

دکتر علی نجاتی کلاته

اساتید مشاور:

دکتر امین روشنديل کاهو

مهندس فرامرز اللهوردي ميگونى

پایان نامه ارشد جهت اخذ درجه کارشناسی ارشد

۱۳۹۳ تیرماه

شماره: ۰۳۱۴۳۱۳۹۶۹
تاریخ: ۱۴/۰۳/۹۳
ویرایش:

بسمه تعالیٰ



مدیریت تحصیلات تکمیلی
فرم شماره (۶)

فرم صور تجلیسه دفاع پایان نامه تحصیلی دوره کارشناسی ارشد

با تأییدات خداوند متعال و با استعانت از حضرت ولی عصر (عج) جلسه دفاع از پایان نامه کارشناسی ارشد آقای اردلان خزانی فر رشتہ ژئوفیزیک گروپنی سنجی به شماره دانشجویی: ۹۰۰۲۲۶۴ تحت عنوان:
تحمین عمق آنومالی با استفاده از حلیف نوان تعمیم یافته داده‌های میدان پتانسیل-مثال موردی؛ یکی از میدان‌ین نفتی ایران

که در تاریخ ۱۳۹۳/۴/۸ با حضور هیأت محترم داوران در دانشگاه صنعتی شاهرود برگزار گردید به شرح زیر است:

قبول (با درجه: عالی) دفاع مجدد مردود

۱- عالی (۱۹ - ۲۰)

۲- خوب (۱۷/۹۹ - ۱۶)

۳- نمره کمتر از ۱۴ غیر قابل قبول

عنوان هیأت داوران	نام و نام خانوادگی	مرتبه علمی	اصفهان
۱- استاد راهنمای	دکتر علی نجاتی کلاتنه	استادیار	
۲- استاد مشاور	دکتر امین روشن‌دل کاهو	استادیار	
۳- استاد مشاور	مهندس فرامرز الله‌ورده میگوئی	دانشجوی	
۴- استاد مصحح	دکتر سوسن ابراهیمی	استادیار	
۵- استاد ممتحن	دکتر حسید آقاجانی	استادیار	
	دکتر علیرضا عرب‌امیری	استادیار	



تقدیم به

خانواده عزیزم

اگرچه قابل تقدیم نیست...

مشکر و قدردانی:

یگانه آفریدگار هستی را سپاس که مرا یاری نمود تا این تحقیق را به پایان برسانم.

بر خود وظیفه می‌دانم از استاد ارجمند دکتر علی نجاتی کلاته به عنوان استاد راهنما و جناب آقای دکتر امین روشنده کاهو به عنوان استاد مشاور که بنده را از تجارب ارزشمندان برخوردار ساختند و همچنین از جناب آقای مهندس فرامرز الله‌ورדי می‌گوینی که به عنوان استاد مشاور نهایت همکاری را با اینجانب به عمل آورد، صمیمانه سپاس‌گذاری کنم. همچنین از پرسنل محترم سازمان زمین‌شناسی و اکتشافاتمعدنی کشور، به خصوص آقایان مهندس ابراهیم شاهین و مهندس فیروز جعفری به‌دلیل در اختیار قرار دادن داده‌ها و کمال همکاری، نهایت قدردانی را به عمل می‌آورم.

از خدمات استادی گرانقدر خود در طول دوره کارشناسی ارشد: دکتر پیروز، دکتر کامکار روحانی، دکتر آفاجانی، دکتر عرب امیری و دکتر تخمچی و همچنین تمامی دوستانی که در طول این مدت به هر نحوی به بنده کمک کردند به خصوص آقایان مهندس فریدون شریفی و سامان قلتاشی صمیمانه تشکر می‌کنم. در ادامه نیز از استادی بزرگوار آقایان دکتر حمید آفاجانی و دکتر علیرضا عرب‌امیری، که زحمت داوری این پایان‌نامه را بر عهده گرفته‌اند، کمال تشکر را دارم.

در پایان از خدمات خانواده عزیزم که در تمامی مراحل زندگی‌ام پشتونه روحی محکمی برای من بوده‌اند، قدردانی می‌کنم.

تعهد نامه

اینجانب اردلان خزائی فر دانشجوی دوره کارشناسی ارشد رشته ژئوفیزیک دانشکده مهندسی معدن، نفت و ژئوفیزیک دانشگاه صنعتی شاهرود نویسنده پایان نامه تخمین عمق آنومالی با استفاده از طیف توان تعمیم یافته داده‌های میدان پتانسیل-مثال موردنی: یکی از میادین نفتی ایران تحت راهنمایی دکتر علی نجاتی کلاته متعهد می‌شوم.

- تحقيقات در این پایان نامه توسط اینجانب انجام شده است و از صحت و اصالت برخوردار است.
- در استفاده از نتایج پژوهش‌های محققان دیگر به مرجع مورد استفاده استناد شده است.
- مطلوب مندرج در پایان نامه تاکنون توسط خود یا فرد دیگری برای دریافت هیچ نوع مدرک یا امتیازی در هیچ جا ارائه نشده است.
- کلیه حقوق معنوی این اثر متعلق به دانشگاه صنعتی شاهرود می‌باشد و مقالات مستخرج با نام «دانشگاه صنعتی شاهرود» و یا «Shahrood University of Technology» به چاپ خواهد رسید.
- حقوق معنوی تمام افرادی که در به دست آمدن نتایج اصلی پایان نامه تأثیرگذار بوده اند در مقالات مستخرج از پایان نامه رعایت می‌گردد.
- در کلیه مراحل انجام این پایان نامه، در مواردی که از موجود زنده (یا بافت‌های آنها) استفاده شده است ضوابط و اصول اخلاقی رعایت شده است.
- در کلیه مراحل انجام این پایان نامه، در مواردی که به حوزه اطلاعات شخصی افراد دسترسی یافته یا استفاده شده است اصل رازداری، ضوابط و اصول اخلاق انسانی رعایت شده است.

تاریخ

امضا دانشجو

مالکیت نتایج و حق نشر

- کلیه حقوق معنوی این اثر و محصولات آن (مقالات مستخرج، کتاب، برنامه‌های رایانه‌ای، نرم افزارها و تجهیزات ساخته شده است) متعلق به دانشگاه صنعتی شاهرود می‌باشد. این مطلب باید به نحو مقتضی در تولیدات علمی مربوطه ذکر شود.
- استفاده از اطلاعات و نتایج موجود در پایان نامه بدون ذکر مرجع مجاز نمی‌باشد.

چکیده

روش‌های گوناگونی برای تخمین عمق بی‌هنجری‌های میدان پتانسیل وجود دارد. یکی از این روش‌ها تحلیل طیفی داده‌های گرانی و مغناطیس است که در طول سال‌های گذشته به‌طور وسیع برای بدست آوردن عمق ساختارهای زمین‌شناسی معین مانند سنگ بستر و همچنین تعیین عمق نقطه هم‌دمای کوری مورد استفاده قرار گرفته است. تخمین عمق تا منشأهای مختلف آنومالی معمولاً توسط روش اسپکتور و گرنت انجام می‌شود. در این روش فرض شده است که پارامترهای فیزیکی مربوط به منشأ از قبیل چگالی و مغناطیس‌پذیری به صورت تصادفی و ناهمبسته توزیع شده‌اند.

مطالعات انجام شده بر روی پروژه‌ی حفاری قاره‌ای آلمانی‌ها (KTB) نشان داد که پارامترهای فیزیکی مربوط به منشأ آنومالی، مانند توزیع چگالی و مغناطیس‌پذیری دارای خواص پیوسته‌ای هستند و فرض‌های روش اسپکتور و گرنت در مورد منشأ آنومالی صحیح نمی‌باشد. لذا روش آنالیز طیف توان تعمیم‌یافته حاصل از داده‌های میدان‌های گرانی و مغناطیس که در آن یک توزیع واقع‌گرایانه برای منشأ این آنومالی‌ها در نظر گرفته می‌شود، یک روش سودمند و کاربردی برای تعیین عمق و خواص آماری مربوط به منشأ آنومالی است.

جهت اجتناب از پیچیدگی‌های ریاضی مربوط به محاسبه طیف، تفسیر داده‌های مربوط به میدان‌های گرانی و مغناطیس عموماً در حوزه فرکانس انجام می‌شود. اگر لگارتم طیف توان بدست آمده از تبدیل فوریه داده‌های میدان پتانسیل در مقابل مقادیر عدد موج تصویر شود، فاکتورهای زیادی در شکل آن دخالت دارند اما فاکتور غالب در شکل طیف بدست آمده فاکتور عمق منشأ آنومالی است. بدین ترتیب عمق تا منشأهای مختلف آنومالی با استفاده از این نمودار قابل محاسبه است.

در این تحقیق به‌منظور نشان دادن کارایی روش آنالیز طیف توان تعمیم‌یافته در ابتدا این روش برای تخمین عمق آنومالی‌های مصنوعی گرانی و مغناطیسی مختلف به‌کار برده شده و نتایج آن با روش طیف توان معمولی مقایسه گردیده است. در پایان نیز این روش برای داده‌های واقعی دو منطقه مختلف به‌کار برده شده است. بدین ترتیب که ابتدا بخشی از داده‌های مغناطیسی مربوط به کانسار

پلی‌متال منطقه عشوند نهاوند واقع در استان همدان مورد بررسی قرار گرفته که نتایج آن با نتایج مطالعات دیگر انجام شده در منطقه مطابقت دارد. سپس قسمتی از داده‌های گرانی و مغناطیسی مربوط به حوضه رسوی مغان واقع در شمال‌غرب ایران مورد بررسی واقع شده است که نتایج روش پیشنهادی در این مطالعه، در این مورد نیز بهخوبی با نتایج مطالعات قبلی موجود در منطقه هم‌خوانی دارد.

کلمات کلیدی: تخمین عمق، روش اسپیکتور و گرنت، روش طیف توان تعمیم‌یافته، منطقه عشوند نهاوند، حوضه رسوی مغان

مقالات مستخرج از پایان نامه:

خزائی فر، ا؛ نجاتی کلاته، ع؛ روشنده کاهو، ا؛ (۱۳۹۲) "تخمین عمق آنومالی با استفاده از طیف توان اصلاح شده داده‌های میدان گرانی" ماهنامه علمی- ترویجی اکتشاف و تولید نفت و گاز، شماره ۱۰۶.

خزائی فر، ا؛ نجاتی کلاته، ع؛ روشنده کاهو، ا؛ (۱۳۹۲) "طیف توان تعمیم‌یافته، ابزاری جدید برای تفسیر داده‌های گرانی" نخستین سمینار ژئوفیزیک اکتشافی نفت، مدیریت اکتشاف شرکت ملی نفت ایران، تهران، مهر ماه.

خزائی فر، ا؛ نجاتی کلاته، ع؛ روشنده کاهو، ا؛ اللهوردی، ف؛ (۱۳۹۲) "تخمین عمق داده‌های مغناطیسی منطقه شهرمیرزاد با استفاده از آنالیز طیف توان تعمیم‌یافته" اولین کنفرانس ملی مهندسی اکتشاف منابع زیرزمینی، دانشگاه صنعتی شاهرود، شاهرود، آذر ماه.

خزائی فر، ا؛ نجاتی کلاته، ع؛ روشنده کاهو، ا؛ (۱۳۹۲) "تخمین عمق آنومالی با استفاده از طیف توان اصلاح شده داده‌های میدان گرانی" پنجمین همایش انجمن زمین‌شناسی اقتصادی ایران، دانشگاه فردوسی، مشهد، شهریور ماه.

فهرست مطالب

۱.....	فصل اول: کلیات
۲.....	۱-۱: مقدمه
۳.....	۱-۲: روش‌های گرانی و مغناطیس‌سنجد
۴.....	۱-۲-۱: چگالی سنگ‌ها
۴.....	۱-۲-۲: خاصیت مغناطیسی سنگ‌ها
۵.....	۱-۲-۳: تاریخچه‌ای مختصر از روش‌ها گرانی و مغناطیس‌سنجد
۶.....	۱-۲-۴: مقایسه روش‌های گرانی و مغناطیس‌سنجد
۷.....	۱-۳: سابقه مطالعات انجام شده
۹.....	۱-۴: ضرورت و هدف انجام پایان‌نامه
۱۰.....	۱-۵: ساختار پایان‌نامه
۱۱.....	فصل دوم: تحلیل طیف توان میدان پتانسیل جهت تخمین عمق با استفاده از روش اسپکتور و گرنت (۱۹۷۰)
۱۲.....	۱-۲: مقدمه
۱۳.....	۱-۲-۱: روش تخمین عمق با استفاده از تحلیل طیف توان
۱۴.....	۱-۲-۲: تئوری روش تخمین عمق با استفاده از تحلیل طیف توان
۱۶.....	۱-۲-۳: تحلیل طیف توان با استفاده از روش اسپکتور و گرنت (۱۹۷۰)
۱۹.....	۱-۳-۱: تأثیر عمق بر روی طیف توان از دیدگاه اسپکتور و گرنت
۱۹.....	۱-۳-۲: تأثیر گسترش عمقی (ضخامت) بر روی طیف توان از دیدگاه اسپکتور و گرنت
۲۱.....	۱-۳-۳: تأثیر سایز (گسترش سطحی) بر روی طیف توان از دیدگاه اسپکتور و گرنت
۲۵.....	۱-۴: جمع‌بندی

فصل سوم: تصحیح روش اسپکتور و گرنت (۱۹۷۰) و ارائه روش طیف توان تعمیم‌یافته به عنوان روشی نوین در تخمین عمق آنومالی	۲۶
۱-۳: مقدمه	۲۷
۲-۳: بررسی روش اسپکتور و گرنت (۱۹۷۰) و تصحیح آن	۲۸
۱-۲-۳: بررسی تأثیر عامل عمق بر روی طیف توان	۲۹
۲-۲-۳: بررسی تأثیر عامل گسترش عمقی (ضخامت) بر روی طیف توان	۲۹
۳-۲-۳: بررسی تأثیر عامل سایز (گسترش سطحی) بر روی طیف توان	۲۹
۴-۲-۳: بررسی کاربرد طیف توان اصلاح شده در موارد مختلف	۳۲
۳-۳: روش تحلیل طیف توان تعمیم‌یافته، روشی نوین در تخمین عمق	۳۸
۱-۳-۳: تئوری روش تحلیل طیف توان تعمیم‌یافته	۳۸
۲-۳-۳: اعمال روش بر روی مدل‌های مصنوعی	۴۰
۱-۲-۳-۳: اعمال بر روی آنومالی مغناطیسی حاصل از مدل‌های مصنوعی	۴۲
۲-۲-۳-۳: اعمال بر روی آنومالی گرانی حاصل از مدل‌های مصنوعی	۵۲
۴-۳: جمع‌بندی	۶۱
فصل چهارم: تخمین عمق داده‌های واقعی	۶۲
۱-۴: مقدمه	۶۳
۴-۲: کانسار پلی‌متال منطقه عشوند نهاؤند	۶۳
۱-۲-۴: موقعیت جغرافیایی و راه‌های ارتباطی منطقه	۶۳
۲-۲-۴: زمین‌شناسی عمومی منطقه	۶۴
۳-۲-۴: برداشت‌های ژئوفیزیکی انجام شده در منطقه عشوند نهاؤند	۶۸
۴-۲-۴: تخمین عمق منشأ در منطقه عشوند	۷۰
۱-۴-۲-۴: پروفیل شماره ۱	۷۱

۷۱.....	الف: بررسی نتایج آرایش دوقطبی- دوقطبی بر روی پروفیل ۱.....۴-۲-۴-۱
۷۲.....	ب: تخمین عمق در پروفیل ۱ با استفاده از تحلیل طیف توان.....۴-۲-۴-۱
۷۷.....	۴-۲-۴-۲: پروفیل ۴
۷۷.....	الف: بررسی نتایج آرایش دوقطبی- دوقطبی بر روی پروفیل ۴.....۴-۲-۴-۲
۷۸.....	ب: تخمین عمق در پروفیل ۴ با استفاده از تحلیل طیف توان.....۴-۲-۴-۲
۸۱.....	۴-۲-۴-۳: پروفیل ۷
۸۱.....	الف: بررسی نتایج آرایش دوقطبی- دوقطبی بر روی پروفیل ۷.....۴-۲-۴-۳
۸۲.....	ب: تخمین عمق در پروفیل ۷ با استفاده از تحلیل طیف توان.....۴-۲-۴-۳
۸۴.....	۴-۳-۳: حوضه رسوی مغان.....۴
۸۴.....	۴-۳-۳-۱: موقعیت جغرافیایی و زمین‌شناسی منطقه
۸۸.....	۴-۳-۳-۲: تخمین عمق منشأ در حوضه رسوی مغان.....۴
۸۸.....	۴-۳-۲-۱: تخمین عمق داده‌های گرانی حوضه مغان با استفاده از تحلیل طیف توان.....۴
۹۲.....	۴-۳-۲-۲: تخمین عمق داده‌های مغناطیس حوضه مغان با استفاده از تحلیل طیف توان.....۴
۹۶.....	فصل پنجم: نتیجه‌گیری و پیشنهادات.....۴
۹۷.....	۵-۱: نتیجه‌گیری.....۵
۹۸.....	۵-۲: پیشنهادات.....۵
۹۹.....	منابع:

فهرست اشکال

- شکل (۱-۲): مدل بلوك با وجوه موازي و قائم (اسپيكتور و گرنت، ۱۹۷۰)..... ۱۷
- شکل (۲-۲): فاكتور طيفي ($\bar{t}(\rho)$) در مقابل مقادير عدد موج. اين فاكتور جز برای مقادير کوچک \bar{t} در فرکانس‌های پايين اثری بر روی شيب طيف توان ندارد (فدي و همكاران، ۱۹۹۷)..... ۲۰
- شکل (۳-۲): منحنی تغييرات طيف توان در مقابل مقادير عدد موج و تأثير ضخامت بر روی آن. افزایش ضخامت منشور باعث انتقال پيك منحنی به سمت فرکانس‌های پايين‌تر می‌شود (اسپيكتور و گرنت، ۱۹۷۰)..... ۲۱
- شکل (۴-۲): اثر مربوط به سايز (گسترش سطحي) بر روی طيف (اسپيكتور و گرنت، ۱۹۷۰)..... ۲۲
- شکل (۵-۲): نمودار شماتيک لگاريتم طيف توان در مقابل مقادير عدد موج و خطوط برازش داده شده بر قسمت‌های داراي شيب خطى ثابت آن..... ۲۴
- شکل (۱-۳): نمودار فاكتور طيفي ($C(\rho, \bar{a})$) در مقابل مقادير عدد موج. اين شکل همان شکل (۴-۲) است که با محورهای \log_{ρ} از نو ترسيم شده (فدي و همكاران، ۱۹۹۷)..... ۳۰
- شکل (۲-۳): نمودار طيف توان مربوط به تابع‌های π_{1D} و π_{2D} . دقت کنيد که پوشش‌های فوقاني آنها به ترتيب يك قانون تواني با توان ۲ و ۳- را دنبال می‌کنند (فدي و همكاران، ۱۹۹۷)..... ۳۱
- شکل (۳-۳): طيف توان ميدان مغناطيسي مربوط به: يك گروه از منشورهای مغناطيشه با پaramترهای جدول (۱-۳) و يك منشور تنها با همان پaramترهای ميانگين. در عمق صفر هر دو طيف توان همان قانون تواني با توان $\beta = 2.9$ را دنبال می‌کنند (فدي و همكاران، ۱۹۹۷)..... ۳۳
- شکل (۴-۳): روش تصحيح طيف توان برای يك گروه از منشأها. طيف توان اصلاح نشده حاصله از گروه منشأهای مذکور در جدول (۱-۳) که برای آنها $\bar{h} = 2 km$ است (ضربرهای)، توسط قانون تواني تصحيح شده است. طيف توان بعد از اصلاح (دايره‌ها) يك فرم نمائي را دنبال می‌کند که عمق را درست نشان می‌دهد. بعد از اين تصحيح تغيير شيب ساختگی که در طيف وجود داشت، از بين می‌رود (فدي و همكاران، ۱۹۹۷)..... ۳۵

شکل (۵-۳): عمق‌های تخمینی با استفاده از طیف توان اصلاح نشده روش اسپکتور وگرنت (۱۹۷۰) \bar{h}_s (ضربدرها) و با استفاده از طیف توان تصحیح شده \bar{h}_D (دایره‌ها). بعد از تصحیح عمق‌های تخمینی درست بر خطی که عمق‌های صحیح را نشان می‌دهد منطبق می‌شوند(فدي و همكاران، ۳۶.....(۱۹۹۷

شکل (۶-۳): الگوریتم برنامه تهیه شده برای تخمین عمق با استفاده از روش‌های تحلیل طیفی.....۴۱

شکل (۷-۳): مدل مصنوعی زیرسطحی دارای سطح مقطع مربعی شکل به ضلع ۱۵۰ متر و ضخامت ۷۰ متر که در عمق ۱۵۰ متری قرار دارد و دارای زاویه میل ۶۰ درجه و زاویه انحراف ۳ درجه و اختلاف خودپذیری مغناطیسی $1/0.01$ با سنگ‌های اطراف در سیستم SI است.....۴۲

شکل (۸-۳): پروفیل انتخابی از بی‌هنجری مغناطیسی حاصل از مدل مصنوعی زیرسطحی شکل (۷-۳).....۴۳

شکل (۹-۳): نمودار لگاریتم طیف توان معمولی در مقابل مقادیر عدد موج و عمق تخمینی حاصل از آن برای مدل مصنوعی زیرسطحی شکل (۷-۳).....۴۴

شکل (۱۰-۳): نمودار لگاریتم طیف توان تعمیم‌یافته در مقابل مقادیر عدد موج و عمق تخمینی حاصل از آن برای مدل مصنوعی زیرسطحی شکل (۷-۳).....۴۵

شکل (۱۱-۳): مقادیر عمق تخمین زده شده برای این مدل مصنوعی توسط روش‌های آنالیز طیف توان معمولی و آنالیز طیف توان تعمیم‌یافته.....۴۶

شکل (۱۲-۳): مدل مصنوعی زیرسطحی متشکل از ۳ مکعب، با مشخصات ذکر شده در جدول (۳-۳) که دارای زاویه میل ۶۰ درجه و زاویه انحراف ۳ درجه و اختلاف خودپذیری مغناطیسی $1/0.01$ با سنگ‌های اطراف در سیستم SI است.....۴۷

شکل (۱۳-۳): پروفیل انتخابی از بی‌هنجری مغناطیسی حاصل از مدل زیرسطحی شکل (۱۲-۳).....۴۸

شکل (۱۴-۳): نمودار لگاریتم طیف توان معمولی در مقابل مقادیر عدد موج و عمق میانگین حاصله از آن برای مدل مصنوعی زیرسطحی شکل (۱۲-۳).....۴۹

- شکل (۱۵-۳): نمودار لگاریتم طیف توان تعمیم یافته در مقابل مقادیر عدد موج و عمق میانگین حاصله از آن برای مدل مصنوعی زیرسطحی شکل (۱۲-۳).
..... ۵۰
- شکل (۱۶-۳): مقادیر عمق تخمین زده شده برای این مدل مصنوعی توسط روش‌های آنالیز طیف توان معمولی و آنالیز طیف توان تعمیم یافته.
..... ۵۱
- شکل (۱۷-۳): مدل مصنوعی زیرسطحی دارای سطح مقطع مربعی شکل به ضلع ۸۰۰ متر و ضخامت SI ۵۰۰ متر که در عمق ۹۰۰ متری قرار دارد و اختلاف چگالی آن با سنگ‌های اطراف در سیستم SI برابر با ۱ لحاظ شده است.
..... ۵۲
- شکل (۱۸-۳): پروفیل انتخابی از بی‌هنجری گرانی حاصل از مدل زیرسطحی شکل (۱۷-۳).
..... ۵۳
- شکل (۱۹-۳): نمودار لگاریتم طیف توان معمولی در مقابل مقادیر عدد موج و عمق تخمینی حاصله از آن برای مدل مصنوعی زیرسطحی شکل (۱۷-۳).
..... ۵۴
- شکل (۲۰-۳): نمودار لگاریتم طیف توان تعمیم یافته در مقابل مقادیر عدد موج و عمق تخمینی حاصله از آن برای مدل مصنوعی زیرسطحی شکل (۱۷-۳).
..... ۵۵
- شکل (۲۱-۳): مقادیر عمق تخمین زده شده برای این مدل مصنوعی توسط روش‌های آنالیز طیف توان معمولی و آنالیز طیف توان تعمیم یافته.
..... ۵۶
- شکل (۲۲-۳): مدل مصنوعی زیرسطحی متتشکل از ۳ مکعب، با مشخصات ذکر شده در جدول (۵-۳) که دارای اختلاف چگالی ۱ با سنگ‌های اطراف در سیستم SI است.
..... ۵۷
- شکل (۲۳-۳): پروفیل انتخابی از بی‌هنجری گرانی حاصل از مدل زیرسطحی شکل (۲۲-۳).
..... ۵۸
- شکل (۲۴-۳): نمودار لگاریتم طیف توان معمولی در مقابل مقادیر عدد موج و عمق میانگین حاصله از آن برای مدل مصنوعی زیرسطحی شکل (۲۲-۳).
..... ۵۹
- شکل (۲۵-۳): نمودار لگاریتم طیف توان تعمیم یافته در مقابل مقادیر عدد موج و عمق میانگین حاصله از آن برای مدل مصنوعی زیرسطحی شکل (۲۲-۳).
..... ۶۰

شکل (۲۶-۳): مقادیر عمق تخمین زده برای این مدل مصنوعی توسط روش‌های آنالیز طیف	۶۱
توان معمولی و آنالیز طیف توان تعمیم‌یافته	
شکل (۱-۴): نقشه راه دسترسی به محدوده عشوند (جعفری، ۱۳۹۰)	۶۳
شکل (۲-۴): نقشه زمین‌شناسی محدوده عشوند و موقعیت منطقه مورد بررسی	۶۵
شکل (۳-۴): راهنمای نقشه زمین‌شناسی منطقه مورد مطالعه (جعفری، ۱۳۹۰)	۶۶
شکل (۴-۴): سمت راست بخش خاوری اسکارن عشوند که توسط یک گسل معکوس در معرض دید	
قرار گرفته و سمت چپ موقعیت اسکارن و توده نفوذی و سنگ همبر (جعفری، ۱۳۹۰)	۶۷
شکل (۵-۴): ترانشه‌های حفر شده در محدوده اسکارن عشوند (جعفری، ۱۳۹۰)	۶۷
شکل (۶-۴): نمونه‌ای از کانه‌سازی مس در اسکارن عشوند (جعفری، ۱۳۹۰)	۶۸
شکل (۷-۴): نقشه برگردان به قطب مغناطیسی به همراه موقعیت قرارگیری پروفیل‌های برداشت	
پلاریزاسیون القایی و مقاومت ویژه در منطقه مورد مطالعه	۶۹
شکل (۸-۴): نقشه برگردان به قطب مغناطیسی به همراه توپوگرافی منطقه عشوند	۷۰
شکل (۸-۴): پروفیل‌های انتخاب شده جهت اعمال روش‌های تحلیل طیفی	۷۱
شکل (۹-۴): مدل پلاریزاسیون القایی و مقاومت ویژه به همراه توپوگرافی بر روی پروفیل	
شماره ۱	۷۲
شکل (۱۰-۴): نمایی از محل قرارگیری پروفیل انتخابی ۱	۷۳
شکل (۱۱-۴): بی‌هنجاری مربوط به پروفیل انتخابی ۱ جهت تخمین عمق	۷۳
شکل (۱۲-۴): نمودار لگاریتم طیف توان معمولی در مقابل مقادیر عدد موج و مقدار عمق تخمین زده	
شده توسط آن برای پروفیل انتخابی ۱ p1	۷۴
شکل (۱۳-۴): نمودار لگاریتم طیف توان تعمیم‌یافته در مقابل مقادیر عدد موج و مقدار عمق تخمین	
زده شده توسط آن برای پروفیل انتخابی ۱ p1	۷۴
شکل (۱۴-۴): نمایی از محل قرارگیری پروفیل انتخابی ۱ p1	۷۵

شکل (۱۵-۴): بیهنجاری مربوط به پروفیل انتخابی ۱' p جهت تخمین عمق.....	۷۵
شکل (۱۶-۴): نمودار لگاریتم طیف توان معمولی در مقابل مقادیر عدد موج و مقدار عمق تخمین زده شده توسط آن برای پروفیل انتخابی ۱' p.....	۷۶
شکل (۱۷-۴): نمودار لگاریتم طیف توان تعمیم یافته در مقابل مقادیر عدد موج و مقدار عمق تخمین زده شده توسط آن برای پروفیل انتخابی ۱' p.....	۷۶
شکل (۱۸-۴): مدل پلاریزاسیون القایی و مقاومت ویژه به همراه توپوگرافی بر روی پروفیل شماره ۴.....	۷۸
شکل (۱۹-۴): نمایی از محل قرارگیری پروفیل انتخابی ۴.....	۷۹
شکل (۲۰-۴): بیهنجاری مربوط به پروفیل انتخابی ۴ p جهت تخمین عمق.....	۷۹
شکل (۲۱-۴): نمودار لگاریتم طیف توان معمولی در مقابل مقادیر عدد موج و مقدار عمق تخمین زده شده توسط آن برای پروفیل انتخابی ۴ p.....	۸۰
شکل (۲۲-۴): نمودار لگاریتم طیف توان تعمیم یافته در مقابل مقادیر عدد موج و مقدار عمق تخمین زده شده توسط آن برای پروفیل انتخابی ۴ p.....	۸۰
شکل (۲۳-۴): مدل پلاریزاسیون القایی و مقاومت ویژه به همراه توپوگرافی بر روی پروفیل شماره ۵.....	۸۱
شکل (۲۴-۴): نمایی از محل قرارگیری پروفیل انتخابی ۷.....	۸۲
شکل (۲۵-۴): بیهنجاری مربوط به پروفیل انتخابی ۷ p جهت تخمین عمق.....	۸۲
شکل (۲۶-۴): نمودار لگاریتم طیف توان معمولی در مقابل مقادیر عدد موج و مقدار عمق تخمین زده شده توسط آن برای پروفیل انتخابی ۷ p.....	۸۳
شکل (۲۷-۴): نمودار لگاریتم طیف توان تعمیم یافته در مقابل مقادیر عدد موج و مقدار عمق تخمین زده شده توسط آن برای پروفیل انتخابی ۷ p.....	۸۳
شکل (۲۸-۴): ستون چینه‌شناسی دشت مغان (گزارشات زمین‌شناسی شرکت ملی نفت ایران).....	۸۵

شکل (۲۹-۴): نقشه زمین‌شناسی دشت مغان (سازمان زمین‌شناسی و اکتشافات معدنی ایران).....۸۶

شکل (۳۰-۴): راهنمای نقشه زمین‌شناسی دشت مغان (سازمان زمین‌شناسی و اکتشافات معدنی ایران).....۸۷

شکل (۳۱-۴): نمایی از محل قرارگیری پروفیل‌های انتخابی گرانی.....۸۸

شکل (۳۲-۴): نمودار لگاریتم طیف توان معمولی در مقابل مقادیر عدد موج و مقدار عمق تخمین زده شده توسط آن برای پروفیل انتخابی ۱g.....۸۹

شکل (۳۳-۴): نمودار لگاریتم طیف توان تعیین‌یافته در مقابل مقادیر عدد موج و مقدار عمق تخمین زده شده توسط آن برای پروفیل انتخابی ۱g.....۹۰

شکل (۳۴-۴): نمودار لگاریتم طیف توان معمولی در مقابل مقادیر عدد موج و مقدار عمق تخمین زده شده توسط آن برای پروفیل انتخابی ۲g.....۹۱

شکل (۳۵-۴): نمودار لگاریتم طیف توان تعیین‌یافته در مقابل مقادیر عدد موج و مقدار عمق تخمین زده شده توسط آن برای پروفیل انتخابی ۲g.....۹۲

شکل (۳۶-۴): نمایی از محل قرارگیری پروفیل‌های انتخابی مغناطیس.....۹۳

شکل (۳۷-۴): نمودار لگاریتم طیف توان معمولی در مقابل مقادیر عدد موج و مقدار عمق تخمین زده شده توسط آن برای پروفیل انتخابی ۱m.....۹۴

شکل (۳۸-۴): نمودار لگاریتم طیف توان تعیین‌یافته در مقابل مقادیر عدد موج و مقدار عمق تخمین زده شده توسط آن برای پروفیل انتخابی ۱m.....۹۵

شکل (۳۹-۴): نمودار لگاریتم طیف توان معمولی در مقابل مقادیر عدد موج و مقدار عمق تخمین زده شده توسط آن برای پروفیل انتخابی ۲m.....۹۶

شکل (۴۰-۴): نمودار لگاریتم طیف توان تعیین‌یافته در مقابل مقادیر عدد موج و مقدار عمق تخمین زده شده توسط آن برای پروفیل انتخابی ۲m.....۹۷

فهرست جداول

جدول (۱-۳): مقادیر میانگین پارامترهای مربوط به منشأ برای طیف توان شکل (۳-۳) ۳۲.....	(فدى و همكاران، ۱۹۹۷)
جدول (۲-۳): مقدار عمق مفروض و تخمين زده شده توسط روش‌های مختلف برای مدل مصنوعی ۴۶.....	شكل (۶-۳)
جدول (۳-۳): مشخصات هندسی ۳ بلوک تشکیل‌دهنده مدل مصنوعی شکل (۱۱-۳) ۴۷.....	(۱۱-۳)
جدول (۴-۳): مقدار عمق مفروض و تخمين زده شده توسط روش‌های مختلف برای مدل مصنوعی ۵۵.....	شكل (۱۶-۳)
جدول (۵-۳): مشخصات هندسی ۳ بلوک تشکیل‌دهنده مدل مصنوعی شکل (۲۱-۳) ۵۶.....	(۲۱-۳)

فصل اول

کلیات